

نظریه خنثی و پویایی‌های عصبی بدون مقیاس

علیرضا آستانه
کیاوش تیموری
یکتا علی نژاد

۶ بهمن ۱۴۰۳

فهرست مطالب

۳	۱	مقدمه
۳	۲	بررسی مدل
۳	۱.۲	مدل IF
۴	۱.۱.۲	حل معادله IF
۴	۲.۱.۲	زمان شلیک نورو
۴	۲.۲	پویایی خنثی
۵	۳	روش شناسی
۵	۴	بازتوصیف مدل
۶	۱.۴	دینامیک گیت‌ها
۷	۲.۴	توقف فعالیت بهمن‌ها
۸	۵	حل تحلیلی
۸	۱.۵	معادله دینامیک غشاء
۸	۲.۵	محاسبه زمان شلیک
۹	۳.۵	معادله پویایی خنثی
۹	۴.۵	تحلیل پویایی تصادفی
۹	۶	توضیحات نتایج ما
۱۴	۱.۶	محدودیت‌ها
۱۴	۲.۶	کارهای آینده

۱۴	۷	نتایج
۱۴	۸	بحث و نتیجه گیری
۱۴	آ	پارامترهای شبیه سازی

چکیده

این مقاله به بررسی پویایی‌های خنثی و رفتار بدون مقیاس در سیستم‌های عصبی می‌پردازد. معادلات حاکم بر مدل نورون‌های نشت‌کننده یکپارچه و شلیک‌کننده (IF) و همچنین پویایی خنثی ارائه شده و به صورت تحلیلی حل می‌شوند. نتایج نشان می‌دهند که بهمن‌های بدون مقیاس می‌توانند بدون نیاز به بحرانی بودن سیستم ایجاد شوند. تحلیل دقیق دینامیک‌های پایدار و تصادفی نشان می‌دهد که پویایی‌های خنثی می‌توانند توضیحی جایگزین برای رفتارهای مشاهده شده در سیستم‌های عصبی باشند.

۱ مقدمه

پویایی‌های بدون مقیاس در فعالیت‌های عصبی، مانند بهمن‌های نورونی، موضوع بسیاری از تحقیقات در زمینه علوم اعصاب بوده است. این پدیده‌ها معمولاً با رفتارهای بحرانی مرتبط دانسته شده‌اند که در آن سیستم در نزدیکی یک انتقال فاز قرار دارد. با این حال، در این مقاله به بررسی نظریه‌ای جایگزین، یعنی پویایی‌های خنثی پرداخته می‌شود. بر اساس این نظریه، رفتارهای مشاهده شده می‌توانند نتیجه تأثیرات تصادفی باشند، بدون آنکه سیستم در حالت بحرانی باشد. هدف این مقاله ارائه مدلی ریاضی و تحلیلی برای توضیح این پدیده‌ها است.

۲ بررسی مدل

در این بخش، مدل نورون‌های نشت‌کننده یکپارچه و شلیک‌کننده (IF) و همچنین معادلات پویایی خنثی معرفی شده و تحلیل می‌شوند.

۱.۲ مدل IF

نورون‌های نشت‌کننده یکپارچه و شلیک‌کننده توسط معادله دیفرانسیل زیر توصیف می‌شوند:

$$\frac{dV_i}{dt} = -\frac{V_i - V_r}{RC} + \sum_k \frac{I_k(t)}{C}, \quad (1)$$

که در آن:

□ V_i : پتانسیل غشاء نورون i .

□ V_r : پتانسیل استراحت.

□ R : مقاومت غشاء.

□ C : ظرفیت غشاء.

□ $I_k(t)$: جریان ورودی سیناپسی.

۱.۱.۲ حل معادله IF

برای یک ورودی ثابت $I_k(t) = I_0$ ، معادله به صورت زیر ساده می شود:

$$\frac{dV_i}{dt} + \frac{V_i}{RC} = \frac{V_r}{RC} + \frac{I_0}{C}. \quad (۲)$$

این یک معادله دیفرانسیل خطی مرتبه اول است. جواب عمومی آن عبارت است از:

$$V_i(t) = Ae^{-t/\tau} + B, \quad (۳)$$

که در آن $\tau = RC$ ثابت زمانی است. ضرایب A و B از شرایط اولیه تعیین می شوند:

$$B = V_r + RI_0, \quad A = V_0 - B. \quad (۴)$$

بنابراین جواب نهایی:

$$V_i(t) = (V_0 - V_r - RI_0)e^{-t/\tau} + V_r + RI_0. \quad (۵)$$

۲.۱.۲ زمان شلیک نورون

نورون زمانی شلیک می کند که $V_i(t)$ به آستانه θ برسد. این شرط را در معادله بالا قرار می دهیم:

$$\theta = (V_0 - V_r - RI_0)e^{-t_{\text{fire}}/\tau} + V_r + RI_0. \quad (۶)$$

با حل این معادله برای t_{fire} :

$$t_{\text{fire}} = -\tau \ln \left(\frac{\theta - V_r - RI_0}{V_0 - V_r - RI_0} \right). \quad (۷)$$

۲.۲ پویایی خنثی

معادلات پویایی خنثی تراکم نورون های فعال ρ را به صورت زیر توصیف می کنند:

$$\frac{d\rho}{dt} = \lambda\rho(1 - \rho) - \mu\rho + \epsilon(1 - \rho). \quad (۸)$$

در حالت پایدار ($\frac{d\rho}{dt} = 0$):

$$\lambda\rho^*(1 - \rho^*) - \mu\rho^* + \epsilon(1 - \rho^*) = 0. \quad (۹)$$

این معادله با ساده سازی به صورت زیر حل می شود:

$$\rho^* = \frac{\lambda - \mu - \epsilon + \sqrt{(\lambda - \mu - \epsilon)^2 + 4\epsilon\lambda}}{2\lambda}. \quad (۱۰)$$

۳ روش شناسی

برای شبیه سازی دینامیک نورونی، مراحل زیر انجام شدند:

۱. ایجاد گراف اردوش-رینی: یک گراف جهت دار اردوش-رینی با میانگین درجه مشخص ساخته شد و ماتریس اتصالات آن ذخیره شد. ۲. تولید جریان خارجی: جریان خارجی I_{ext} با استفاده از توزیع پواسونی تولید شد. ۳. مقداردهی اولیه: پتانسیل غشاء تمام نورون ها V_i روی مقدار استراحت V_r تنظیم شد که کمتر از آستانه θ است. - تمام گیت ها در ابتدا باز ($U = 1$) مقداردهی شدند. ۴. حلقه اصلی شبیه سازی: وضعیت نورون ها بررسی شد تا مشخص شود آیا در حالت خواب هستند یا فعال. - تغییرات پتانسیل V و گیت ها U با استفاده از معادلات زیر محاسبه شدند:

$$\frac{dV}{dt} = -\frac{V - V_r}{\tau_m} + I_{input}, \quad (11)$$

$$\frac{dU}{dt} = \frac{1 - U}{\tau_u}. \quad (12)$$

- نورون هایی که پتانسیل آن ها از آستانه عبور کرده بود، اسپایک زدند و پتانسیل آن ها به مقدار استراحت بازگشت. - گیت های نورون های اسپایک زننده ریست شدند و این نورون ها برای مدت $T_{refractory}$ به حالت خواب رفتند. ۵. محاسبه بهمن ها: تاریخچه اسپایک ها ذخیره شد و بهمن ها با شناسایی نقاط شروع و پایان فعالیت شناسایی شدند. - اندازه بهمن ها (S) و مدت زمان آن ها (T) محاسبه و تحلیل شد:

$$S = CumulativeSum(t_{end}) - CumulativeSum(t_{start}). \quad (13)$$

۶. تحلیل نتایج: توزیع اندازه و مدت زمان بهمن ها رسم و رفتار بدون مقیاس آن ها تحلیل شد.

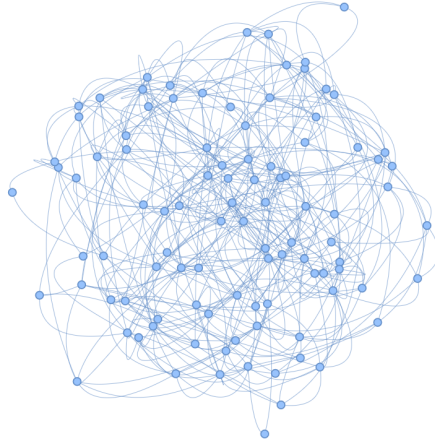
۴ باز توصیف مدل

در این مقاله، مدل بر اساس یک گراف اردوش-رینی جهت دار (Directed Erdos-Renyi Graph) تعریف شده است. ۱. این گراف شامل نورون های تحریکی است که فاقد نورون های مهارى هستند. اتصالات گراف به صورت تصادفی و با احتمال یکسان برقرار می شوند و میانگین درجه $\langle k \rangle$ مشخص است.

هر نورون دارای یک پتانسیل غشاء V_i است که اگر از یک آستانه θ عبور کند، نورون اسپایک زده و جریان سیناپسی به نورون های متصل انتقال می یابد. جریان ورودی به نورون ها شامل دو مؤلفه است:

□ جریان خارجی I_{ext} که از توزیع پواسونی با میانگین f پیروی می کند:

$$P(I_{ext} = k) = \frac{e^{-f} f^k}{k!}, \quad (14)$$



□

شکل ۱: گراف شبکه نورنونی

□ جریان داخلی I_{syn} که با عبور اسپایک از گیت‌های باز به نورون‌های دیگر منتقل می‌شود. جریان داخلی از توزیع نمایی پیروی می‌کند:

$$P(I_{syn}) = \lambda e^{-\lambda I}, \quad (15)$$

که در آن λ نرخ افت نمایی است.

نورون پس از اسپایک زدن به حالت استراحت باز می‌گردد و برای مدت τ_{rp} غیرفعال می‌شود. در این مدت، پتانسیل غشاء ثابت باقی می‌ماند اما گیت‌ها همچنان دینامیک خود را ادامه می‌دهند.

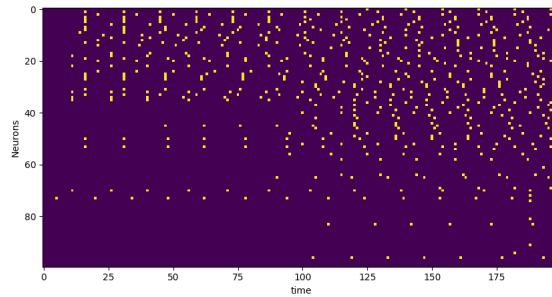
$$\dot{V}_i = -\frac{V_i - V_r}{RC} + \sum_k \frac{I_{e_i}^k(t)}{C} + \frac{1}{C} \sum_{i' \in n_i(i)} \sum_{j,k} \Theta \left[p_r U_{i'j}(t_{s_i}^k) - \zeta_{i'j}^k I_{in_{i'}}^k(t) \right], \quad (16)$$

$$\dot{U}_{ij} = \frac{1 - U_{ij}}{\tau_R} - \sum_k U_{ij} \Theta \left(p_r - \zeta_{ij}^k \right) \delta(t - t_{s_i}^k). \quad (17)$$

۱.۴ دینامیک گیت‌ها

هر نورون دارای n_r گیت خروجی است که باز و بسته شدن آن‌ها توسط احتمال P_r کنترل می‌شود. زمانی که یک گیت باز شود و اسپایک عبور کند، گیت به حالت بسته بازمی‌گردد و باز شدن دوباره آن طبق معادله زیر تنظیم می‌شود:

$$U(t) = U_0 \exp \left(-\frac{t}{\tau_R} \right), \quad (18)$$



□

شکل ۲: نمودار فعالیت نورون ها در طول زمان

که در آن:

□ U_0 : مقدار اولیه گیت.

□ τ_R : ثابت زمانی باز شدن گیت ها.

۲.۴ توقف فعالیت بهمن ها

زمانی که نورون ها اسپایک می زنند، فعالیت زنجیره ای آغاز می شود. این فعالیت به دلیل عوامل زیر متوقف می شود: ۲

□ بسته بودن گیت ها که از انتقال اسپایک جلوگیری می کند.

□ اتلاف جریان به دلیل نورون های غیرفعال یا در حالت خواب.

□ تحریک خارجی محدود که باعث می شود سیستم در حالت پایدار باقی بماند.

این عوامل باعث تولید بهمن های فعالیت نورونی با رفتار بدون مقیاس می شوند که تابع توزیع آن ها در مقیاس لگاریتمی-لگاریتمی خطی است.

۵ حل تحلیلی

در این بخش، معادلات کلیدی مقاله را به صورت تحلیلی حل کرده و توضیحات کاملی برای هر مرحله ارائه می‌دهیم. حل تحلیلی به ما امکان می‌دهد تا درک عمیق‌تری از پویایی سیستم به دست آوریم.

۱.۵ معادله دینامیک غشاء

معادله دینامیک غشاء نوروں به صورت زیر است:

$$\frac{dV_i}{dt} = -\frac{V_i - V_r}{RC} + \sum_k \frac{I_k(t)}{C}. \quad (19)$$

برای ساده‌سازی، فرض می‌کنیم که تنها یک جریان ورودی ثابت $I_k(t) = I_0$ وجود دارد. معادله بازنویسی می‌شود:

$$\frac{dV_i}{dt} + \frac{V_i}{RC} = \frac{V_r}{RC} + \frac{I_0}{C}. \quad (20)$$

این یک معادله دیفرانسیل خطی مرتبه اول است که جواب عمومی آن به صورت زیر است:

$$V_i(t) = Ae^{-t/\tau} + B, \quad (21)$$

که در آن $\tau = RC$ ثابت زمانی است و ضرایب A و B از شرایط اولیه تعیین می‌شوند. شرط اولیه این است که در زمان $t = 0$ ، $V_i(0) = V_0$ ، بنابراین داریم:

$$A = V_0 - B. \quad (22)$$

جایگذاری در جواب عمومی و استفاده از معادله اصلی:

$$B = V_r + RI_0. \quad (23)$$

در نتیجه جواب کامل معادله به صورت زیر است:

$$V_i(t) = (V_0 - V_r - RI_0)e^{-t/\tau} + V_r + RI_0. \quad (24)$$

۲.۵ محاسبه زمان شلیک

نوروں زمانی شلیک می‌کند که $V_i(t)$ به آستانه θ برسد. این شرط را در جواب عمومی جایگذاری می‌کنیم:

$$\theta = (V_0 - V_r - RI_0)e^{-t_{fire}/\tau} + V_r + RI_0. \quad (25)$$

با حل این معادله برای t_{fire} ، زمان شلیک به دست می‌آید:

$$t_{fire} = -\tau \ln \left(\frac{\theta - V_r - RI_0}{V_0 - V_r - RI_0} \right). \quad (26)$$

۳.۵ معادله پویایی خنثی

معادله پویایی خنثی تراکم نورون‌های فعال ρ را توصیف می‌کند:

$$\frac{d\rho}{dt} = \lambda\rho(1 - \rho) - \mu\rho + \epsilon(1 - \rho). \quad (۲۷)$$

در حالت پایدار $\frac{d\rho}{dt} = 0$ ، بنابراین داریم:

$$\lambda\rho^*(1 - \rho^*) - \mu\rho^* + \epsilon(1 - \rho^*) = 0. \quad (۲۸)$$

با ساده‌سازی معادله بالا:

$$\rho^* = \frac{\lambda - \mu - \epsilon + \sqrt{(\lambda - \mu - \epsilon)^2 + 4\epsilon\lambda}}{2\lambda}. \quad (۲۹)$$

این مقدار نشان‌دهنده تراکم نورون‌های فعال در حالت پایدار است.

۴.۵ تحلیل پویایی تصادفی

برای بررسی پویایی‌های تصادفی، از معادله لانژوین استفاده می‌کنیم:

$$\frac{d\rho_k}{dt} = \sqrt{\frac{2\lambda\rho_k(1 - \rho_k)}{N}}\eta(t), \quad (۳۰)$$

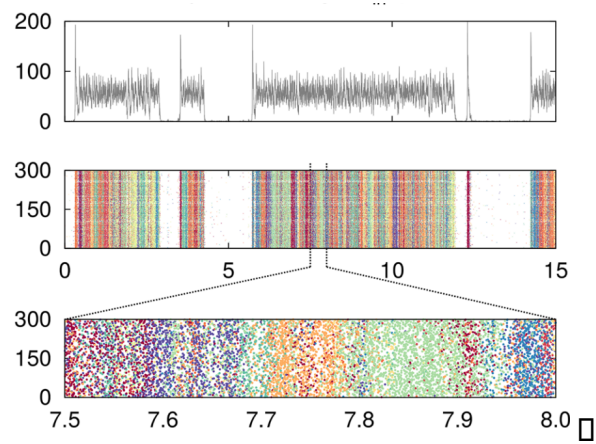
که $\eta(t)$ نویز گاوسی با میانگین صفر و واریانس واحد است. با حل عددی این معادله می‌توان توزیع اندازه بهمن‌ها را محاسبه کرد. همچنین از تحلیل فاز برای تعیین پایداری نقاط ثابت استفاده می‌شود.

۶ توضیحات نتایج ما

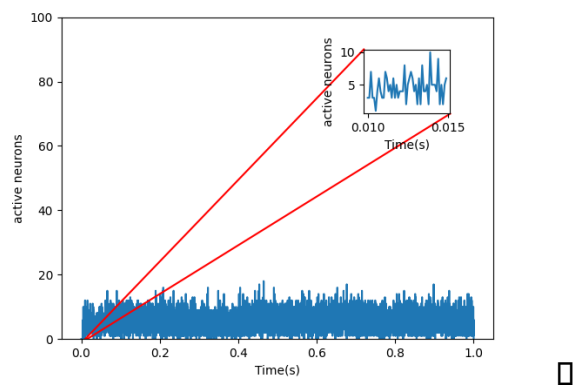
در این بخش، تحلیل نتایج بازسازی کدهای مقاله و پلات‌های به‌دست آمده ارائه می‌شود. هدف از این بخش بررسی فعالیت نورونی و تأیید رفتار مدل بر اساس نتایج مقاله اصلی است. ۳.

اولین پلات نشان‌دهنده تعداد نورون‌های فعال در هر لحظه از زمان است. این پلات نشان می‌دهد که در هر لحظه چند نورون فعال هستند. در طول زمان، فعالیت نورونی نویز دارد و بالا و پایین می‌رود، اما هیچ‌گاه مقدار آن به صفر نمی‌رسد. این نشان‌دهنده این است که سیستم در حال فعالیت است و نورون‌ها به‌طور مداوم اسپایک می‌زنند. کاهش فعالیت‌ها به دلیل ورود نورون‌ها به حالت خواب است و باعث پایان بهمن می‌شود، در حالی که افزایش فعالیت‌ها به دلیل تحریک خارجی و جریان‌های ورودی است که باعث فعال شدن نورون‌های بیشتری می‌شود. ۴.

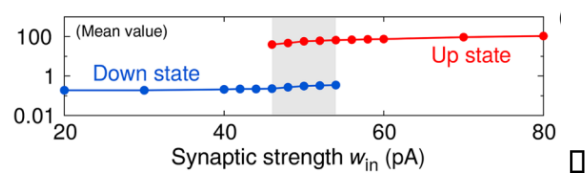
برای بررسی پارامتر w (قدرت اتصالات)، مشاهده کردیم که اگر مقدار w از حد معینی کمتر باشد، نورون‌ها غیرفعال می‌شوند و اگر از حد معینی بیشتر باشد، نورون‌ها فعال می‌شوند. در مقاله، محدوده میانی برای w بررسی شده است، ۵ اما مدل و نتایج ما متفاوت بود. ۶.



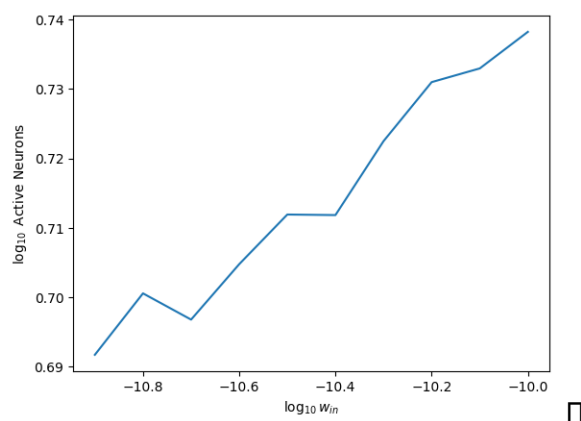
شکل ۳: نمودار فعالیت نوروں ها بر حسب زمان در مقاله اصلی



شکل ۴: نمودار فعالیت نوروں ها بر حسب زمان



شکل ۵: نمودار میانگین زمانی تعداد نوروں های فعال بر حسب قدرت سیناپسی درونی در مقاله اصلی

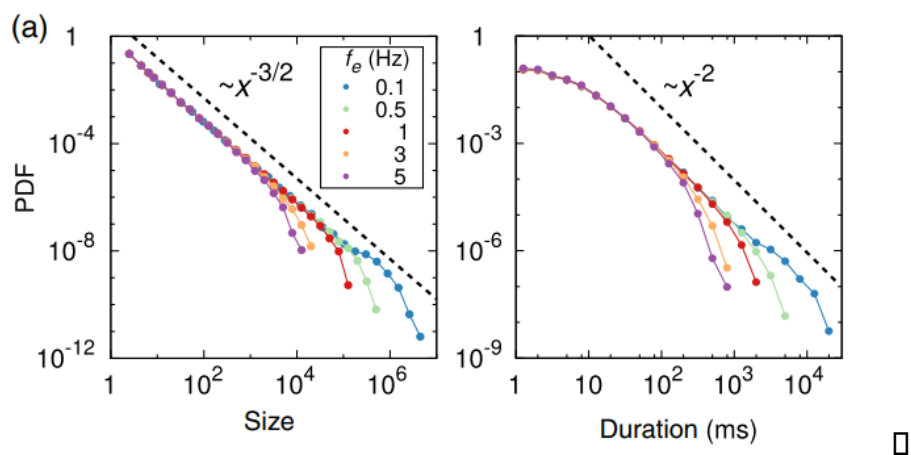


شکل ۶: نمودار میانگین زمانی تعداد نورون های فعال بر حسب قدرت سیانپسی درونی

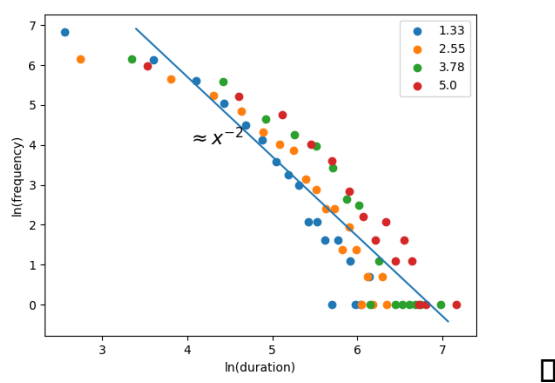
ما w را بر اساس میانگین زمانی تعداد نورون های روشن محاسبه کردیم و پلات آن را نیز رسم کردیم. محور x به صورت لگاریتمی در نظر گرفته شد و مشاهده کردیم که رفتار سیستم در این محدوده یکنواخت است. تحلیل ما نشان می دهد که اگر مقدار w به صفر میل کند، به دلیل وجود جریان خارجی، تعدادی از نورون ها همچنان اسپایک می زنند و روشن می شوند. بنابراین، خط پلات به یک مقدار حداقلی غیر صفر میل می کند و فعالیت نورون ها به صفر نمی رسد. از سوی دیگر، اگر مقدار w از یک حد بالاتر رود، تمام نورون ها فعال نمی شوند. این به دلیل وجود محدودیت هایی مانند حالت خواب نورون ها و جریان های اتلافی است که باعث می شود برخی نورون ها پس از اسپایک زدن غیر فعال شوند. بنابراین، یک حد بالایی نیز برای w وجود دارد. پیش بینی ما این است که هیچ کدام از این دو حد، صفر یا برابر با n (تعداد کل نورون ها) نیستند. بنابراین، محدوده میانی باید به صورت صعودی و یکنواخت باشد. به نظر می رسد که مقاله نیز به همین نکته اشاره داشته و چیزی که ما نشان دادیم، دقیقاً محدوده میانی است.

در مقاله، تأثیر پارامتر f (شدت جریان خارجی) بررسی شده است. ۷ ما چهار پلات مشابه مقاله تهیه کردیم. با بررسی اثر f مشاهده شد که اگر مقدار f کاهش یابد، تأثیر خاصی روی توان رفتار اسکیل فری ندارد. ۸، ۹ این نشان می دهد که حتی برای جریان خارجی کم، مدل همچنان رفتار اسکیل فری را حفظ می کند. از سوی دیگر، رفتار سیستم با تغییر اندازه (n) نیز بررسی شد. بخش خطی اصلی پلات ها تقریباً با هم منطبق بودند و اندازه سیستم تأثیر خاصی روی توان رفتار ندارد. تنها در انتهای پلات، یک دم مشاهده می شود که تأثیر اندازه سیستم را نشان می دهد. اگر اندازه سیستم به بی نهایت میل کند، خط اندازه نیز تا بی نهایت ادامه می یابد.

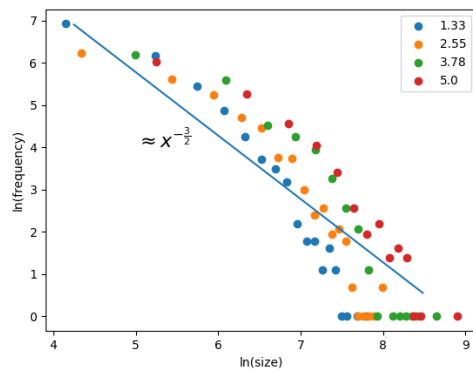
به دلیل محدودیت هایی مانند زمان بر بودن شبیه سازی، نیاز به حافظه رم بالا، و طولانی بودن زمان اجرا، ما نتوانستیم n را تا مقدار ۳۰۰۰ افزایش دهیم و شبیه سازی ها را برای مقادیر تا ۱۰۰۰ انجام دادیم. ۱۰، ۱۱



شکل ۷: نمودار تابع توزیع بهمن ها بر حسب اندازه آنها و نمودار تابع توزیع بهمن ها بر حسب مدت زمان آنها در مقاله اصلی

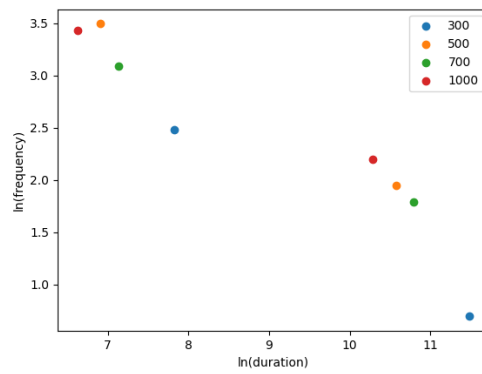


شکل ۸: نمودار تابع توزیع بهمن ها بر حسب مدت آنها به ازای شدت های مختلف برای جریان خارجی



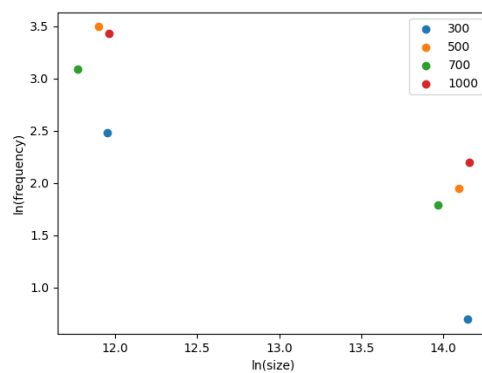
□

شکل ۹: نمودار تابع توزیع بهمن ها بر حسب اندازه آنها به ازای شدت های مختلف برای جریان خارجی



□

شکل ۱۰: نمودار تابع توزیع بهمن ها بر حسب مدت آنها به ازای اندازه های مختلف برای شبکه نوردونی



□

شکل ۱۱: نمودار تابع توزیع بهمن ها بر حسب اندازه آنها به ازای اندازه های مختلف برای شبکه نوردونی

۱.۶ محدودیت‌ها

- زمان اجرای طولانی. - نیاز به حافظه رم بیشتر. - درک متفاوت از مدل در مقایسه با مقاله اصلی.

۲.۶ کارهای آینده

- بررسی دقیق‌تر حدود بالایی و پایینی w . - تغییر مقادیر w و بررسی تأثیر آن روی رفتار اسکیل فری. - استفاده از منابع محاسباتی قوی‌تر برای بررسی مقادیر بزرگ‌تر n .

۷ نتایج

یافته‌ها نشان می‌دهند که بهمن‌های بدون مقیاس می‌توانند از پویایی‌های خنثی ناشی شوند. این پویایی‌ها نیازی به فرض بحرانی بودن سیستم ندارند و می‌توانند توضیحی جایگزین برای رفتارهای مشاهده شده در سیستم‌های عصبی ارائه دهند.

۸ بحث و نتیجه‌گیری

پویایی‌های خنثی یک چارچوب قوی برای توضیح فعالیت‌های عصبی بدون مقیاس ارائه می‌دهند. برخلاف نظریه‌های بحرانی، این چارچوب بر تأثیرات تصادفی تأکید دارد و می‌تواند رفتارهای پیچیده را بدون نیاز به فرض‌های بحرانی بودن مدل‌سازی کند.

آ پارامترهای شبیه‌سازی

□ تعداد نورون‌ها: $N = 3000$

□ مقاومت غشاء: $R = 2/3G\Omega$

□ ظرفیت غشاء: $C = 30pF$

□ ثابت زمانی سیناپسی: $\tau_s = 5ms$

□ قدرت سیناپسی درونی: $w_{in} = 50pA$

□ قدرت سیناپسی بیرونی: $w_e = 95pA$

□ میانگین تعداد اتصالات نورون‌ها: $K = 7.5$

□ تعداد گیت‌های هر نورون: $n_r = 6$

□ پتانسیل آستانه: $V_r = -50mV$

□ پتانسیل استراحت: $V_r = -70mV$

□ ثابت زمانی باز شدن گیت ها : $\tau_R = 0.1s$

□ ثابت زمانی خواب نوروں ها: $\tau_{rp} = 1ms$

□ احتمال عبور جریان از گیت : $p_r = 0.25$

مراجع

[۱] Martinello, Matteo, Jorge Hidalgo, Amos Maritan, Serena di Santo, and Dietmar Plenz. "Neutral theory and scale-free neural dynamics." *Physical Review X* 7, no. 4 (2017): 041071. <https://doi.org/10.1103/PhysRevX.7.041071>

[۲] D. Millman, S. Mihalas, A. Kirkwood, and E. Niebur, SelfOrganized Criticality Occurs in Non-Conservative Neuronal Networks during 'Up' States, Nat. Phys. 6, 801 (2010): <https://doi.org/10.1038/81453>

[۳] git-hub repository: link